



DOR [20.1001.1.17354226.1400.16.2.5.0](https://doi.org/10.1.1.17354226.1400.16.2.5.0)

Original article

Evaluation of the effect polysacharid nanocomposites on *gtf* gene expression in *Streptococcus mutans*

Shokofeh Mazhab jafari¹, Fatemeh Yazdian^{2*}, Farzaneh Hosseini^{3*}, Behnam Rasekh⁴

1. Bioscience college, Tehran North Branch, Islamic Azad University, Tehran, Iran
2. Department of Life Science Engineering, Faculty of New Science and Technologies, University of Tehran, Tehran, Iran
3. Environment & Biotechnology Division, Research Institute of Petroleum Industry (RIPI), Tehran, Iran

*Corresponding author: e-mail: yazdian@ut.ac.ir, Hosseinimicrobiology@gmail.com

Received: 11/24/2021

Accepted: 06/01/2022

Abstract

Tooth decay is one of the most important public health problems in different communities. The activity of acid-producing bacteria, especially *Streptococcus mutans* biofilms, is the main cause of this complication. The formation of biofilms of this bacterium depends on the presence of the enzyme glucosyltransferase, which is encoded by the *gtf* gene. The aim of this study was to evaluate the effect of polysaccharide nanocomposite of Chitosan (Cs)/Carboxymethyl Starch (CMS)/Graphene oxide (RGO)/Silica (SiO_2) on *gtf* gene expression in *Streptococcus mutans*. Graphene oxide was synthesized by Hummers method. Chitosan/Carboxymethyl Starch/Graphene oxide/Silica quaternary compound were then prepared and antimicrobial effect was investigated and antimicrobial effect on *Streptococcus's mutans* ATCC 35668 was investigated by microdilution method. The morphology and structural properties were investigated by FTIR, SEM and DLS. The expression of *gtfB*, *gtfC*, *gtfD* genes was examined by RT-PCR technique. FTIR studies confirmed the incorporation of RGO and SiO_2 into nanocomposite. The antimicrobial effect of nanocomposite (0.203 mg/ml) was obtained.

RT-PCR results showed that no significant relationship was observed in the expression of *gtfB* and *gtfD* genes in cells treated with nanocomposites compared to the control group ($P=0.187$, $P=0.067$), while the expression of *gtfC* gene was significantly reduced ($P=0.049$) in cells treated with nanocomposite and indicating the strong effect of this nanocomposite on suppressing the *gtfC* gene and reducing biofilm formation. According to the results, the expression level of *gtfC* gene in cells treated with nanocomposite was reduced, and Cs/CMS/RGO/ SiO_2 nanocomposite has a strong effect in suppressing *gtfC* gene.

Keywords: Gene expression, *Streptococcus mutans*, Polysaccharide, Dental biofilm

مقاله تحقیقی

ارزیابی تأثیر نانوکامپوزیت پلی‌ساکاریدی بر بیان ژن *gtf* در استرپتوکوکوس موتانس

شکوفه مذهب جعفری^۱, فاطمه یزدیان^{۲*}, فرزانه حسینی^{۱*}, بهنام راسخ^۳

۱. دانشکده علوم زیستی، واحد تهران شمال، دانشگاه آزاد اسلامی، تهران، ایران
۲. گروه مهندسی علوم زیستی، دانشکده علوم و فنون نوین، دانشگاه تهران، تهران، ایران
۳. گروه پژوهش میکروبیولوژی و بیوتکنولوژی، پژوهشگاه صنعت نفت (RIP), تهران، ایران

*مسئول مکاتبات: Hosseiniimicrobiology@gmail.comyazdian@ut.ac.ir

محل انجام تحقیق:

تاریخ پذیرش: ۱۴۰۰/۱۰/۱۶

تاریخ دریافت: ۱۴۰۰/۹/۳

چکیده

پوسیدگی دندان از مهم ترین مضلات سلامت عمومی در جوامع مختلف می‌باشد. فعالیت باکتری‌های تولید کننده اسید به ویژه بیوفیلم‌های استرپتوکوکوس موتانس اصلی‌ترین عامل ایجاد کننده این عارضه محسوب می‌شود. ایجاد بیوفیلم‌های باکتری مذکور منوط به حضور آنزیم گلوکوزیل ترانسفراز است که توسط ژن *gtf* کدگذاری می‌شود. هدف از این مطالعه ارزیابی تأثیر نانوکامپوزیت پلی‌ساکاریدی کیتوزان/کربوکسی متیل‌نشاسته/گرافن اکسید/سیلیسیومدی اکسید(Cs-CMS-RGO-SiO₂), بر میزان *gtfA*, *gtfB*, *gtfC*, *gtfD* در استرپتوکوکوس موتانس با استفاده از روش RT-PCR در تشکیل بیوفیلم دندانی است. گرافن-اکسید به روش هامرز سنتز شد، سپس ترکیب دوگانه گرافن اکسید/سیلیسیومدی اکسید و ترکیب چهارگانه کیتوزان/کربوکسی-متیل‌نشاسته/گرافن اکسید/سیلیسیومدی اکسید تهیه شدند و اثر ضدیکروبی آن‌ها روی باکتری/سترپتوکوکوس موتانس ATCC 35668 با روش میکرودایلوشن بررسی گردید. مورفولوژی و خصوصیات ساختاری نانوکامپوزیت توسط DLS, SEM و FTIR مورد بررسی قرار گرفت. بیان ژن‌های *gtfA*, *gtfB*, *gtfC*, *gtfD* با تکنیک RT-PCR بررسی شد. تحلیل داده‌ها توسط نرم‌افزار SPSS²² مقایسه میانگین‌ها براساس ANOVA در سطح ۰/۰۵ انجام شد. اندازه ذرات نانوکامپوزیت کیتوزان/کربوکسی-متیل‌نشاسته/گرافن-اکسید/سیلیسیومدی اکسید در محدوده ۲۱/۱۹ - ۲۵/۳ نانومتر بدست آمد. نتایج طیف FTIR نشان‌دهنده تشکیل پیوند بین گرافن اکسید و سیلیسیوم دی اکسید، در نانوکامپوزیت می‌باشد. اثر ضدیکروبی نانوکامپوزیت (۰/۰۳ میلی‌گرم بر میلی‌لیتر) به دست آمد. نتایج RT-PCR نشان داد، بیان ژن *gtfC* به طور معناداری ($P=0.049$) در سلول‌های باکتری/سترپتوکوکوس موتانس تحت درمان با کیتوزان/کربوکسی-متیل‌نشاسته/گرافن اکسید/سیلیسیومدی اکسید کاهش داشته، که نشان‌دهنده اثر قوی این نانوکامپوزیت در سرکوب ژن *gtfC* و کاهش تشکیل بیوفیلم است. ارتباط معناداری در بیان ژن‌های *gtfA*, *gtfB*, *gtfC* در سلول‌های تیمار شده با نانوکامپوزیت نسبت به گروه کنترل مشاهده نشد ($P=0.067$). طبق نتایج میزان بیان ژن *gtfC* در سلول‌های تحت درمان با نانوکامپوزیت کاهش داشته و این نانوکامپوزیت داری اثر قوی در سرکوب ژن *gtfC* و کاهش تشکیل بیوفیلم میکروبی دندان است.

واژه‌های کلیدی: بیان ژن *gtf*, استرپتوکوکوس موتانس, پلی‌ساکاریدی, بیوفیلم دندانی

مقدمه

(۱و۲). در مرحله اول تشکیل پلاک، با تولید ترکیبات بیوشیمیابی مؤثر اتصال اولیه رخ داده و کلونی اولیه تشکیل می‌شود. در مرحله دوم باکتری‌ها قادر به اتصال به کلونی اولیه، تشکیل یک ساختار منحصر به فرد را داده و موجب مقاوم شدن آن‌ها به عوامل ضدیکروبی می‌گردد.

پوسیدگی ناشی از رشد بیش از حد گروه خاصی از میکرووارگانیسم‌ها در سطح دندان و تخریب بافت‌های دندانی از طریق اسیدهایی است که باکتری‌ها را به شکل گروهی از پلاک‌های دندانی ایجاد می‌کنند. پلاک‌هایی روی دندان شکل می‌گیرد که باعث پوسیدگی آن می‌شود

حاصل از استریپتوکوکوس موتانس بهدلیل افزایش مقاومت آنتیبیوتیکی و مشکلات تغییر رنگ دندان معمولاً فقط در درمان های کوتاه مدت استفاده می شوند (۷). بر این اساس، تحقیقات حاضر روی توسعه عوامل جدید آنتی باکتریال که بتوانند بر این مقاومت غلبه کنند صورت می پذیرد (۸). یک گام اساسی برای رسیدن به این هدف توسعه روش های ضد میکروبی با نفوذ راحت در ساختارهای بیوفیلم است (۹). نانوذرات پلیمرهای طبیعی به نظر می رسد در درمان و کنترل بیماری های دهان و دندان و حامل های بیولوژیکی برای نقل و انتقال مواد به بیوفیلم مطلوب باشند (۱). کیتوزان قابلیت استفاده به عنوان یک ماتریکس به منظور دارو رسانی و طیف وسیعی از کاربرد در بیودنتال را دارد (۱۰). نشاسته پلی ساکارید طبیعی ارزان قیمت، زیست سازگار، زیست تخریب پذیر و غیرسمی است (۱۱). نشاسته کربوکسی متیل، به شکل تجربی به عنوان انتقال دهنده کارآمد دارو استفاده شده است (۱۲). اکسید گرافن به طور گسترده به عنوان کاندیدای امیدوار کننده برای کاربردهای زیست پزشکی و دارورسانی استفاده می شود (۱۳). نانوذرات سیلیس در پزشکی عمدها به عنوان حامل نانویی با هدف انتقال دارو یا ژن و عکس برداری استفاده می شوند (۱۴ و ۱۵). در پژوهش حاضر نانوکامپوزیت کیتوزان اکربوکسی متیل نشاسته / گرافن اکسید / سیلیسیوم دی اکسید ساخته شد و مورفولوژی، خصوصیات ساختاری و فعالیت RT-PCR ضدمیکروبی آن بررسی گردید، سپس با روش بیان ژن های gtfD, gtfC, gtfB توسط نانوکامپوزیت ارزیابی شد.

مواد و روش ها

استریپتوکوکوس موتانس ATCC 35668 از سازمان پژوهش های علمی و صنعتی ایران (IROST) خریداری شد. کیتوزان (low M_w), از شرکت مرک تهیه گردید. نانوذره (۱۰ نانومتر، ۶۰۰۰ متر مربع بر گرم) از شرکت Lolitech تامین شد. دندان های سالم از دانشکده دندان پزشکی دانشگاه تهران تهیه و توسط دستگاه برش Presi مدل Mecatome ۳۰۰.۱۰۰ میلی متر) برش داده شد.

جهت تعیین خصوصیات ساختاری و مورفولوژی نانوکامپوزیت، اندازه گیری متعدد سایز ذرات و PDI از دستگاه های FT-IR مدل ۳۰۰.۱۰۰، شرکت

به این ساختارهای ثانویه شامل چندگونه باکتریایی، بیوفیلم گفته می شود (۳). از دلایل اصلی پوسیدگی دندان، تخمیر کربوهیدرات ها بهدلیل فعالیت میکرووار گانیزم - ها می باشد. طبق تحقیقات اکثر باکتری های جداسازی شده از جنس استریپتوکوکوس بوده و استریپتوکوکوس - موتانس عامل اصلی در پوسیدگی دندان است (۴). عوامل اصلی پاتوژنی استریپتوکوکوس موتانس که باعث تشکیل بیوفیلم موفق باکتری در دهان می گرددند چسبندگی، توانایی تولید اسید و تحمل اسید می باشد. رژیم غذایی حاوی میزان بالای ساکاروز عاملی مشتبه برای رشد و تشکیل بیوفیلم های استریپتوکوکوس موتانس می باشد، زیرا از سایر باکتری های موجود در دهان دارا بوده و ساکاروز را بهتر به اسید لاکتیک و گلوکان نامحلول در آب تبدیل می کند. گلوکان نامحلول از عوامل اصلی اتصال باکتری به دندان واگاد پلاک دندانی می باشد و به وسیله گلیکوزیل - ترانسفرازها (gtf) از ساکاروز سنتز می گردد. این فرایند بیوشیمیایی منجر به ثابت شدن استریپتوکوکوس موتانس به سطح دندان و ایجاد پلاک دندان است. استریپتوکوکوس موتانس حداقل سه نوع ژنوتیپ جداگانه gtf α تولید می کند: ۱- gtfB گلوکان نامحلول در آب با پیوندهای ۱-۳ تولید می کند. ۲- gtfC دو نوع گلوکان نامحلول و نامحلول با پیوندهای ۶-۱ تولید می کند. ۳- gtfD به صورت غالب تر گلوکان نامحلول با پیوندهای α تولید می کند.

هر یک از انواع gtf ها نقش مجزا دارند اما دارای هم پوشانی هستند. gtfC تمایل به اتصال به براق پوشیده شده با هیدروکسی آپاتیت دارد. این اتصال باعث افزایش توانایی اتصال باکتری به سطح دندان می گردد. gtfB با تولید گلوکان نامحلول و اتصال محکم به باکتری ها باعث خواهش بندی سلول ها شده و انعطاف پذیری پلاک را بهشدت افزایش می دهد. به نظر می رسد gtfD نقش غالب را در تولید گلوکان نامحلول در مراحل بعدی به عهده دارد (۵). در واقع، حذف ژن های gtf C, B, D در استریپتوکوکوس موتانس منجر به کاهش تشکیل بیوفیلم با حداقل تراکم باکتری ها و پلی ساکاریدها داخل بدن می شود (۶). این امر نشان می دهد سرکوب ژن های gtf یک روش جایگزین برای مختل شدن فرایند تشکیل بیوفیلم است. روند تحقیقات اخیر به پیشگیری و کنترل فرایند تشکیل بیوفیلم اختصاص یافته است. داروهای انتخابی درمان عفونت های دهانی

گرفت. پس از عبور از کاغذ صافی و شستشوی مکرر، رسوب به دست آمده را خشک کرده و پودر حاصل جمع-آوری گردید (۱۸).

تهیه سیلیسیوم‌دی‌اکسید

ابتدا ۵ میلی‌لیتر تترا اتیل ارتو سیلیکات (TEOS) به صورت قطره‌ای به ۱۷۰ میلی‌لیتر محلول اتانول حاوی ۲ میلی‌لیتر محلول $\text{NH}_3\cdot\text{H}_2\text{O}$ ٪ ۲۰ اضافه شد. پس از ۲۴ ساعت واکنش، سیلیس تولید شده توسط سانتریفیوژ جمع‌آوری و ۵ بار با اتانول مطلق شستشو داده شد و در دمای ۱۰۰°C یک شب خشک شد. سرانجام، نانو سیلیسیوم‌دی‌اکسید به دست آمده در دمای ۶۰۰°C به مدت ۶ ساعت در کوره کلسینه شد (۱۹).

سنتر نانوکامپوزیت کیتوزان/کربوکسی‌متیل نشاسته/ گرافن اکسید/سیلیسیوم‌دی‌اکسید
ابتدا ۱۵/۰ گرم گرافن اکسید به دست آمده، در بشر ۲۵۰ میلی‌لیتر حاوی ۳۰ میلی‌لیتر آب دیونیزه، $\text{NH}_3\cdot\text{H}_2\text{O}$ ٪ ۲۵ میلی‌لیتر اتانول مطلق، ۵ میلی‌لیتر محلول $\text{C}_6\text{H}_5\text{CO}_2\text{Na}$ و ۴ میلی‌لیتر TEOS در حال همزدن، پخش شد. مخلوط حاصل مدت ۱۲ ساعت در دمای اتاق همزده شد. سپس نسبت ۳:۱ از محلول‌های نانوذرات کیتوزان و کربوکسی-متیل نشاسته به آرامی و در دستگاه التراسوند (Hilscher UP200H, Germany) تحت سونیکیت مدت ۵۰ دقیقه اضافه شد. چندین بار سوسپانسیون حاصل مدت ۲ دقیقه در ۱۰۰۰ rpm سانتریفیوژ شد، و توسط آب دیونیزه و اتانول شسته شد. نانوکامپوزیت حاصل مدت ۵ دقیقه در نیتروژن مایع ذخیره شد، سپس به دستگاه انجماد خشک انتقال یافت. ارزیابی کیفیت و مورفولوژی نانوکامپوزیت توسط SEM صورت پذیرفت.

تعیین خصوصیات نانوکامپوزیت

عامل بالقوه بین ترکیبات در سیستم نانوکامپوزیتی و بررسی گروه‌های عاملی توسط FT-IR در دمای اتاق صورت پذیرفت. طیف FT-IR از نانوکامپوزیت ساخته شده بر روی نمونه‌های لیوفلیزه با استفاده از دستگاه طیف‌سنج ثبت شد. میزان ۱ mg از نانوکامپوزیت در هاون همراه با KBr پودر شد و با ضخامت ۰/۱ سانتی‌متر روی صفحه قرار

iPerkin Elmer Spectrum مدل KYKY_EM3200، اسپکتروفوتومتر مدل PG Instrument، دستگاه تفرق نور دینامیک (DLS) مدل Instrument Malvern Nano zetasizer دستگاه انکوباتور مدل Binder و شیکرانکوباتور مدل IKA و دستگاه سانتریفیوژ مدل Sigma استفاده شد.

آماده‌سازی نانوذرات کیتوزان و کربوکسی‌متیل- نشاسته

نشاسته طی فرآیند اتری شدن در ایزوپروپانول آب به کربوکسی‌متیل نشاسته تبدیل شد (۱۶). نانوذرات کیتوزان و کربوکسی‌متیل نشاسته با استفاده از روش ژلاتین یونی تهیه شدند. رقت‌های مختلف کربوکسی‌متیل نشاسته (۰٪/۰٪، ۰٪/۲۵٪، ۰٪/۵٪ و ۰٪/۷۵٪) با حل کردن پودر کربوکسی‌متیل نشاسته در ۱۰ میلی‌لیتر آب دیونیزه دمای ۵۰°C توسط همزن مغناطیسی (۵۰۰ rpm) تهیه شد؛ رقت‌های مختلف کیتوزان (۰٪/۰٪، ۰٪/۵٪، ۰٪/۱۰٪ و ۰٪/۱۵٪) با احلال پودر کیتوزان در ۱۰ میلی‌لیتر محلول اسیداستیک ۰٪ (حجمی/حجمی) در دمای اتاق توسط همزن مغناطیسی (۷۰۰ rpm) تهیه شد. محلول کیتوزان توسط سدیم هیدروکسید با رقت ۱ مولار تا ۵ pH تنظیم شد، ۱۰ میکرولیتر توقین ۲۰ به محلول‌ها به عنوان عامل امولسیون اضافه شد تا محلول با پراکندگی یکنواخت و بدون تراکم حاصل شود (۱۷).

سنتر گرافن اکسید

از روش ارتفا یافته هامرز برای ساخت گرافن اکسید استفاده شد. ابتدا ۱/۵ گرم نیترات‌سدیم و ۳ گرم پودر گرافیت، مخلوط و به آن ۶۹ میلی‌لیتر اسیدسولفوریک اضافه شد، در حالی که محلول در حمام بخ است ۹ گرم پرمنگات پتاسیم به آن اضافه و همزده شد، پس از ۲۴ ساعت محلول تشکیل شده با ۴۰ میلی‌لیتر آب رقیق شد و ۶ میلی‌لیتر آب اکسیژنه به محلول اضافه شد. به‌منظور احیای اکسید گرافن، به ۱۰۰ گرم گرافن اکسید به دست آمده از مرحله قبل، ۱۰۰ میلی‌لیتر آب اضافه شد و با استفاده از التراسونیک به صورت تعليق درآمد. سپس ۲ میلی‌لیتر هیدرات‌هیدرازین به عنوان عامل احیا به محلول اضافه شد، و تحت عملیات حرارتی در حمام رونگ قرار

سوسپانسیون باکتری، استرپتوکوکوس موتناس در مقداری از همین محیط به کدورت نیم مک فارلند رسانده شد. در انتهای ده یک پلیت ۹۶ خانه U شکل (کره-SPL) به هر چاهک ۲۰۰ میکرولیتر سوسپانسیون باکتری تهیه شده در محیط TSB و یک قطعه از مینای دندان اضافه گردید. پلیت ۲۴ ساعت انکوبه شد. در این روش،^۳ چاهک کنترل منفی (عدم رشد باکتری در نتیجه عدم تشکیل بیوفیلم) و ۳ چاهک کنترل مثبت (رشد باکتری و تشکیل بیوفیلم) در یک پلیت باید اختصاص داشته باشد. پس از ۲۴ ساعت، جهت مطالعه بیوفیلم طبق روش رنگ آمیزی، ابتدا محیط کشتها از چاهکها حذف گردید و چاهکها و قطعه مینای دندان ۱-۲ بار با بافر PBS سترون با حجم ۲۰۰ میکرولیتر شسته شد. سپس ۲۰۰ میکرولیتر از محلول هر نانوکامپوزیت (۱ میلی گرم بر میلی لیتر) در حداقل غلظت بازدارندگی (MIC) در محلول بافر فسفات (pH ۵ و ۷) به چاهکهای مربوطه منتقل شد و مدت ۳۰ دقیقه در ۳۷°C انکوبه گردید. مرحله بعد محلول نانوکامپوزیت حذف شد چاهک و مینای دندان ۳ بار با پیپت کردن ۲۰۰ میکرولیتر بافر PBS سترون شستشو داده شد. به منظور فیکس کردن بیوفیلم، به هر چاهک ۲۰۰ میکرولیتر متانول مطلق افزوده شد و ۱۰ دقیقه در دمای اتاق انکوبه گردید. پس از ۱۵ دقیقه متانول حذف و چاهک ها در معرض هوا خشک شدند. پس از خشک شدن مینای دندان، به هر چاهک ۱۰۰ میکرولیتر کریستال ویوله٪۱۰ اضافه و ۵ دقیقه در دمای اتاق انکوبه گردید. پس از ۵ دقیقه کریستال ویوله حذف گردید و چاهک و مینای دندان ۵ بار با پیپت کردن ۲۰۰ میکرولیتر بافر PBS سترون شستشو داده شد. در آخر به هر چاهک ۲۰۰ میکرولیتر اسید استیک ۷/۷٪ ۳۳٪ اضافه شد و پس از ۲۰ دقیقه جذب نوری در ۵۷۰ نانومتر قرائت گردید. برای بررسی نتایج از روش (ODc) Optical density cut-off استفاده شد. به منظور بررسی ابتدا انحراف معیار و میانگین OD چاهک های کنترل منفی محاسبه سپس طبق فرمول زیر محاسبه انجام شد (۲۳ و ۲۴). معادله ۱:

$$= \text{ODc} - \text{OD} \text{ چاهک های کنترل منفی} / \text{OD} \text{ میانگین} + (۳)$$

انحراف معیار چاهک های کنترل منفی بعد از محاسبه ODc یا کات اف، OD چاهک های مورد مطالعه طبق موارد زیر دسته بندی شد

گرفت. طیف در محدوده $400-4500 \text{ cm}^{-1}$ مشاهده شد. ویژگی های مورفولوژی سطح نانوکامپوزیت فریزدرای شده با استفاده از SEM با قدرت ۱۰۰ وات بررسی گردید. توزیع اندازه ذرات نانوکامپوزیت توسط ز تاسایز تعیین شد. اندازه گیری DLS در یک زاویه پراکنده 90° بعد از سونیکیت محلول انجام شد (۲۰).

کشت میکرووارگانیسم

چند کلنی از رشد یک روزه باکتری استرپتوکوکوس موتناس در محیط کشت بلاد آگار به ۱۵ میلی لیتر محیط کشت مایع BHI منتقل و ۲۴ ساعت در دمای ۳۷°C و rpm ۱۵۰ کشت داده شد؛ سپس ۵۰۰ میکرولیتر از این کشت به ۲۰ میلی لیتر محیط BHI تازه اضافه و به شیکرانکوباتور منتقل گردید تا باکتری ها در فاز میانی رشد لگاریتمی خود $0.05-0.06/\text{hr}$ قرار گیرند. مقدار ۱۵ میلی لیتر محیط ۱۸ دقیقه در دمای ۴°C 4000 rpm سانتریفیوژ شد تا محیط کشت از سلول های باکتری جدا شود (۲۱).

تعیین حداقل غلظت مهارکننده (MIC) نانوکامپوزیت روی باکتری/استرپتوکوکوس موتناس

جهت تعیین MIC نانوکامپوزیت روی باکتری موتناس، کشت ۱۸ ساعته باکتری در محیط کشت دمای 37°C و 150 rpm تهیه شد. جذب نوری، OD_{600} ماده تلقیح توسط BHI تازه روی $1/10$ تنظیم گردید. برای تعیین نانوکامپوزیت در پلیت ۹۶ چاهکی، در هر چاهک $100 \text{ }\mu\text{l}$ میکرولیتر ماده تلقیح و حجم های $0.0, 0.2, 0.4, 0.8, 1.6, 3.2, 6.4, 12.8$ میکرولیتر از محلول نانوکامپوزیت (۱ میلی گرم بر میلی لیتر) (با سه تکرار) اضافه شد. پس از ۲۴ ساعت انکوباسیون در دمای 37°C ، رشد باکتری باشیت OD_{600} توسط ELISA اندازه گیری شد. نانوکامپوزیت برابر کمترین غلظت است که منجر به 0.05 OD_{600} شود (۲۲).

تعیین اثر نانوکامپوزیت روی تولید بیوفیلم باکتری/استرپتوکوکوس موتناس

جهت تعیین اثر نانوکامپوزیت روی تولید بیوفیلم باکتری استرپتوکوکوس موتناس ابتدا محیط کشت ^1TSB حاوی 2% گلوکز تهیه و استریل شد. جهت تهیه

¹ Tryptic soy broth

معادل ۱۰ پیکومول پرایمر و cDNA به مقدار $1\text{ }\mu\text{l}$ وارد واکنش شد. ۹.۵ میکرولیتر آب DNAase and RNAase free اضافه گردید . واکنش PCR در حجم نهایی $1\text{ }\mu\text{l}$ شامل مواد

$\text{OD} > 4 \times \text{ODc}$	بیوفیلم قوی
$2 \times \text{ODc} < \text{OD} \leq 4 \times \text{ODc}$	بیوفیلم متوسط
$\text{ODc} < \text{OD} \leq 2 \times \text{ODc}$	بیوفیلم ضعیف
$\text{OD} \leq \text{ODc}$	بیوفیلم منفي

تحلیل آماری

تجزیه و تحلیل داده‌ها توسط نرم‌افزار SPSS²² صورت گرفت. ارزیابی تفاوت گروه‌های مورد آزمایش و شاهد توسط Prism_{6.01} Graph pad انجام شد. مقایسه تفاوت معنی‌دار بین مقادیر به دست آمده از بیان ژن‌های موردنظر در سطح آماری 0.05 /توسط آزمون آماری ANOVA ارزیابی شد و مقادیر $P < 0.05$ معنی‌دار در نظر گرفته شد.

نتایج

مشخصه‌یابی نانوکامپوزیت
طیف FTIR نانوکامپوزیت کیتوزان/کربوکسی‌متیل نشاسته/گرافن‌اکسید/سیلیسیوم‌دی‌اکسید همان‌طور که در شکل ۱ مشخص است، پیک جذبی در 3442 cm^{-1} حرکات ارتعاشی کششی گروه O-H را نشان می‌دهد. پیک در ناحیه 1573 cm^{-1} به COO وجود خمثی NH (آمید ۲) کیتوزان نسبت داده می‌شود. نوار جذبی 1414 cm^{-1} به ارتعاشات خمثی OH-C اختصاص دارد (25). طیف 1093 cm^{-1} انشان‌دهنده وجود CMS در نانو کامپوزیت است که به گروه عاملی C-O در C-C-O-C پیک جذبی در 654 cm^{-1} مربوط به ارتعاشات گروه سیلیسیوم‌دی‌اکسید است.

مورفولوژی نانوکامپوزیت

شکل ۲ تصویر SEM نانوکامپوزیت کیتوزان/کربوکسی‌متیل نشاسته/گرافن‌اکسید/سیلیسیوم‌دی‌اکسید را نشان می‌دهد. قطر متوسط نانوکامپوزیت در محدوده $21/19$ الی $25/33$ نانومتر به دست آمد. با توجه به تصاویر SEM. سطح نانوکامپوزیت همگن به نظر می‌رسد، که نشان‌دهنده سازگاری خوب بین کیتوزان، کربوکسی‌متیل‌نشاسته، گرافن‌اکسید و سیلیسیوم‌دی‌اکسید است. اندازه ذرات

بررسی بیان ژن‌ها به روش Real-time PCR

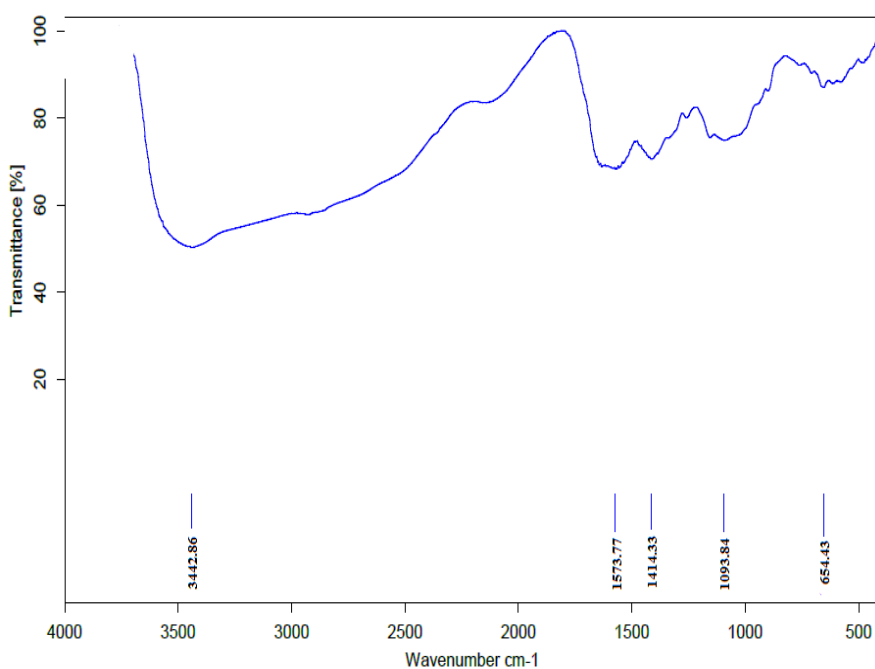
ژن‌هادر باکتری/سترپتوكوکوس متانس، ژن اختصاصی گونه‌بوده و بیان ژن‌های *gtfB*, *gtfC*, *gtfD* با واکنش زنجیره‌ای پلیمراز RT-PCR بررسی شد. از ژن 16sRNA به منظور کنترل داخلی واکنش‌های PCR استفاده گردید. RNA از سلول با روش RNX-PLUS استخراج شد (Invitrogen, Korea). غلظت RNA با روش تعیین دانسیته نوری توسط دستگاه نانودرایپ در طول موج 260 نانومتر اندازه‌گیری شد. RNAهای استخراج شده در نمونه‌ها نشان داد نسبت جذب نوری $280/260$ در تمامی نمونه‌های تیمار شده و شاهد بالای 1.95 با حداقل غلظت 500 نانوگرم بر Real time PCR مناسب هستند. برای ساخت cDNA از پروتکل سازنده کیت bio Fact (bio Fact, Korea) استفاده شد. واکنش qPCR برای تجزیه و تحلیل کمی بیان ژن به روش سایبرگرین با دستگاه Corbett انجام گرفت. جهت انجام واکنش PCR، نمونه‌های cDNA به نسبت $1\text{ }\mu\text{l}$ به 10 دقیق شدند. مواد مورد نیاز برای انجام واکنش PCR شامل این موارد است: نمونه‌های cDNA الگو به میزان $11\text{ }\mu\text{l}$, Taq DNA, $9.5\text{ }\mu\text{l}$ RNAase free Water و DNAase Mix RED (Amplicon) $\lambda\gamma$ Polymerase Master Reverse Primer و Forward Primer بعد از چند ثانیه ورتكس، برنامه دمایی دستگاه PCR به این ترتیب تنظیم شد. میکروتیوب‌ها: 5 دقیقه در دمای 95°C و 5 دقیقه در 50°C و 5 دقیقه در 30°C و 37°C دمای 95°C در دستگاه ترموسایکلر قرار گرفتند. طراحی آغازگر با استفاده از برنامه پرایمر 3 انجام شد. خصوصیات ترمودینامیکی و شکل سه‌بعدی آغازگرها با نرم‌افزار ژن رانر 2 بررسی شد. پرایمرهای طراحی شده برای ژن‌های مورد نظر مطابق جدول ۱ است. ازای هر نمونه 7 لاندا مستر میکس استفاده شد. به ازای هر نمونه 1 میکرولیتر از پرایمر فورواذر و ریورس که

² Gene runner

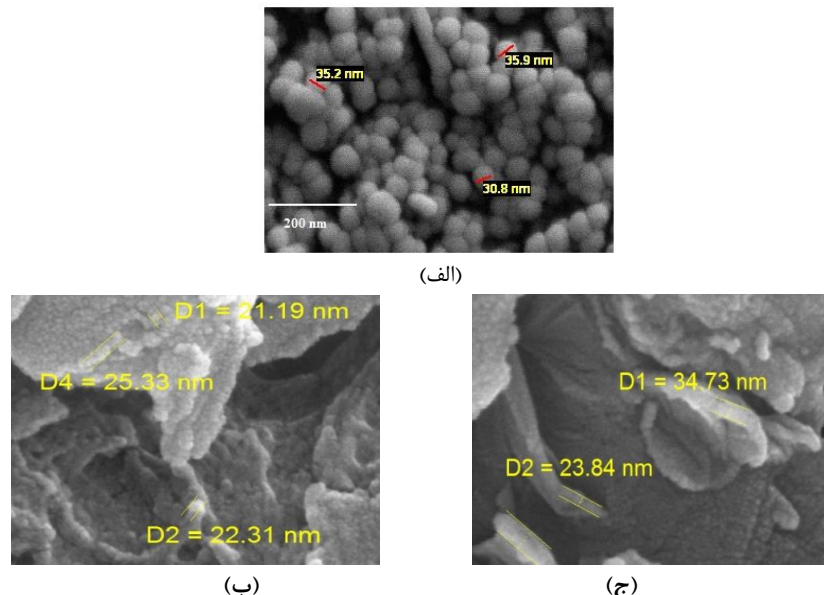
نانوکامپوزیت با استفاده از DLS توسط دستگاه زتسایزر تعیین شد. مطابق شکل ۳، میانگین اندازه ذرات نانوکامپوزیتکیتوزان/کربوکسیمتیلنشاسته/گرافن اکسید/ سیلیسیوم دی اکسید حدود ۱۸۲ نانومتر به دست آمد

جدول ۱- توالی پرایمرها برای بررسی ژن ها در/ استرپتوکوکوس موتناس

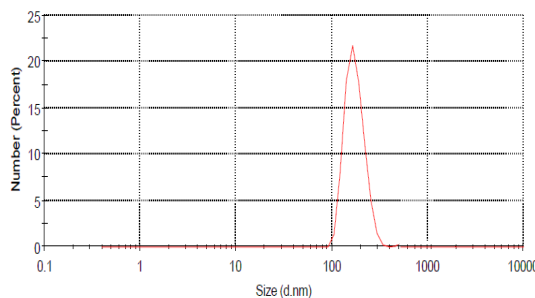
Gene	Sequence (5'→3')	Product Size (bp)
<i>gffB</i>	Forward: AGCAATGCAGCCAATCTACAAAT Reverse: ACGAACTTGCCTTATTGTCA	96
<i>gffC</i>	Forward: GGTTAACGTCAAAATTAGCTGTATTAGC Reverse: CTCAACCAACCGCCACTGTT	91
<i>gffD</i>	Forward: ACAGCAGACAGCAGCCAAGA Reverse: ACTGGGTTTGCTGCGTTG	94
<i>16sRNA</i>	Forward: CCTACGGGAGGCAGCAGTAG Reverse: CAACAGAGCTTACGATCCGAAA	101
<i>recA</i>	Forward: GCGTGCCTGAAGTTTATTCTTC Reverse: TGTCCCCGGTTCTAAATT	75



شکل ۱- طیف FTIR نانوکامپوزیت کیتوزان/کربوکسیمتیلنشاسته/گرافن اکسید/ سیلیسیوم دی اکسید



شکل ۲- تصویر SEM نانوکامپوزیت کیتوزان/ کربوکسی متیل نشاسته/ گرافن اکسید/ سیلیسیوم دی اکسید بررسی خاصیت ضد میکروبی با تعیین حداقل غلظت مهارکننده (MIC) نانوکامپوزیت روی باکتری استرپتوکوکوس موتانس کمترین غلظتی است که در آن نانوکامپوزیت به طور کامل رشد باکتری مورد آزمایش را مهار کند. نتایج حاصل از بررسی MIC نانوکامپوزیت کیتوزان/ کربوکسی متیل



شکل ۳- نمودار DLS نانوکامپوزیت کیتوزان/ کربوکسی متیل نشاسته/ گرافن اکسید/ سیلیسیوم دی اکسید

دندان در جدول ۲ نشان داده شده است. آزمایش‌ها در سه تکرار انجام شد و جذب‌ها در طول موج ۵۷۰ نانومتر قرائت گردید. با توجه به نتایج مشاهده گردید اثر بازدارندگی نانوکامپوزیت در غلظت ۴ میلی گرم بر میلی لیتر مشاهده شد و کمترین مقدار بیوفیلم تشکیل شده در این غلظت نانوکامپوزیت دیده شد (۲۶ و ۲۷).

بررسی بیان ژن‌های *gtfB*, *gtfC*, *gtfD*

تعیین میزان نانوکامپوزیت روی تولید بیوفیلم باکتری/ استرپتوکوکوس موتانس با خوانش پلیت توسط الیزا (Biotek-Cytation3-آمریکا) OD های بدست آمده در معادله ۱ قرار داده شد و نتایج حاصل از اثر بازدارندگی نانوکامپوزیت کیتوزان/ کربوکسی- متیل نشاسته/ گرافن اکسید/ سیلیسیوم دی اکسید روی میزان تولید بیوفیلم باکتری/ استرپتوکوکوس موتانس روی مدل

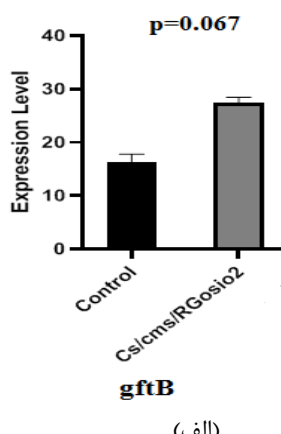
گروه تیمار شده نسبت به گروه کنترل مشاهده نشد.
 $(gtfD; P = 0.187, gtfB; P = 0.067)$

جدول ۲- بازدارندگی نانو کامپوزیت

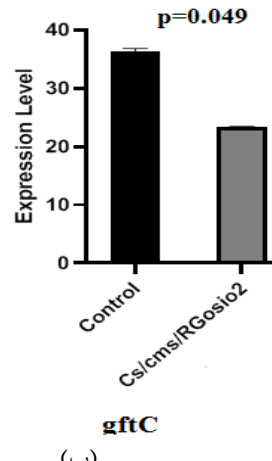
نانو کامپوزیت	غلظت (میلی گرم بر میلی لیتر)	نوع بیوفیلم
کیتوزان/کربوکسی متیل	۴	منفی
نشاسته/گرافن اکسید/	۲	قوی
سیلیسیوم دی اکسید	۱	قوی
	۰/۵	قوی

میزان بیان ژن *gtfB* در حضور نانو کامپوزیت کیتوزان/کربوکسی متیل نشاسته/گرافن اکسید/سیلیسیوم دی اکسید، نسبت به نمونه کنترل افزایش یافته و نشان دهنده اثر منفی نانو کامپوزیت بر سلول های تحت درمان است.

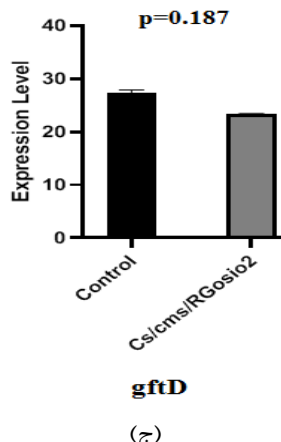
یافته های این تحقیق نشان داد ارتباط معناداری در بیان ژن *gftC*، بین گروههای تیمار شده نسبت به گروه کنترل مشاهده شد ($Pvalue = 0.049$) (شکل ۴)، که نشان دهنده اثر قوی این نانو کامپوزیت در سرکوب ژن *gftC* و کاهش تشکیل بیوفیلم با حداقل تراکم باکتری ها داخل بدن است. می توان بیان کرد سرکوب ژن های *gtf* ممکن است یک روش جایگزین برای مختل شدن فرایند تشکیل بیوفیلم باشد. ارتباط معناداری در بیان ژن های *gtfB* و *gtfD* بین



(الف)



(ب)



(ج)

شکل ۴- بررسی ارتباط معناداری: (الف) ژن *gtfB*، (ب) ژن *gtfC*، (ج) ژن *gtfD* در بین سویه های استرپتوکوکوس موتابنس تیمار شده با نانو کامپوزیت

کو و همکاران در مطالعه‌ای اثر مهاری Apigenin را روی عدم تشکیل پلاک از طریق مهار ژن‌های *gtf* در سویه استرپتوكوکوس موتناس *U4159* بررسی کردند و نتایج قابل توجهی از مهار ژن‌های *gtfC* و *gtfB* دخیل در سنتز پلی‌ساقارید خارج سلولی گزارش کردند (۳۲). پاسوس و همکاران نیز فعالیتهای ضدپوسیدگی *Libidibia ferrea* را مهاری اسید و اتیل گالات‌های *U4159* بررسی کردند. پاسوس در مدل بیوفیلم را مورد بررسی نمودند. طبق نتایج، اتیل گالات و گالیک اسید باعث کاهش گلوکان‌های محلول در گلیابی، سلول‌های زنده و بیان ژن‌های *gtfB* و *gtfC* و *gtfD* در بیوفیلم‌ها شدند (۳۳).

از بین ۳ ژن تحت مطالعه، فقط میزان بیان ژن *gtfC* در سلول‌های تیمار شده با نانوکامپوزیت کیتوزان/کربوکسی اکسید/گرافن اکسید/سیلیسیوم‌دی اکسید با تفاوت معنی‌داری نشان داده شد که بیانگر اثر قوی نانوکامپوزیت در کاهش میزان بیان ژن *gtfC* در تشکیل بیوفیلم میکروبی دندان است. ارتباط معناداری در بیان ژن‌های *gtfB* و *gtfD* در سلول‌های تیمار شده با نانوکامپوزیت نسبت به گروه کنترل مشاهده نشد.

نتیجه‌گیری

در مطالعه اخیر اثر نانوکامپوزیت کیتوزان/کربوکسی متیل‌نشاسته/گرافن اکسید/سیلیسیوم‌دی اکسید بر بیان ژن *gtfD*, *gtfC*, *gtfB* استرپتوكوکوس موتناس ارزیابی شد. ابتدا نانوکامپوزیت ساخته شد، سپس مورفولوژی، خصوصیات ساختاری و فعالیت ضدمیکروبی آن بررسی گردید. نتایج بیان ژن نشان داد میزان بیان ژن *gtfC* در سلول‌های تیمار شده با نانوکامپوزیت کاهش داشته و این نانوکامپوزیت اثر قوی در سرکوب ژن *gtfC* و کاهش تشکیل بیوفیلم میکروبی دندان است.

تقدیر و تشکر

از تمام افرادی که در انجام این تحقیق به ما یاری رسانده اند، کمال تشکر را داریم.

بر اساس تجزیه و تحلیل آماری، از بین ۳ ژن تحت مطالعه، فقط ژن *gtfC* میزان بیان ژن را در سلول‌های تحت درمان با نانوکامپوزیت با تفاوت معنی‌داری نشان داد که نشان دهنده اثر قوی نانوکامپوزیت در کاهش میزان بیان ژن *gtfC* در تشکیل بیوفیلم میکروبی دندان است. در حالی که تیمار با نانوکامپوزیت کیتوزان/کربوکسی‌متیل‌نشاسته/گرافن اکسید/سیلیسیوم‌دی اکسید تفاوت معنی‌داری در بیان ژن‌های *gtfD* و *gtfB* نشان ندادند ($P=0.067$, $P=0.187$).

بحث

به‌طور کلی در مسیر پیشرفت‌های جدید برای شناخت کامل پوسیدگی دندانی و ریشه‌کنی کامل آن، یافتن راهکارهای جدید جهت کاهش پلاک‌های دندانی و عوامل ایجاد‌کننده آن‌ها ضرورت دارد. ثابت شده است عوامل ضدمیکروبی در برابر تشکیل بیوفیلم استرپتوكوکوس موتناس راهبردهای کارآمدی هستند. ژن‌های *GTF* در تولید پلیمرهای گلوکان و اتصال باکتری‌ها به سطوح دارای اهمیت زیادی می‌باشند (۳۸). افزایش مقدار بیان آن‌ها در حالت بیوفیلم نسبت به فرم پلانکتونی این موضوع را تایید می‌کند. یوشیدا و همکاران در مطالعه‌ای نشان دادند میزان بیان ژن *B* در حالت بیوفیلم چهار برابر نسبت به حالت پلانکتونیک افزایش می‌باید (۳۹).

استفاده از فناوری نانو در انتقال دارو به سلول‌ها می‌تواند برخی مشکلات پیش روی رسانش داروهای گیاهی از جمله غیر هدفمند بودن و اکسیدپذیری بالا را تا حدودی برطرف نماید (۳۰).

در این تحقیق، مقدار MIC نانوکامپوزیت کیتوزان/کربوکسی متیل‌نشاسته/گرافن اکسید/سیلیسیوم‌دی اکسید برای 0.203 ± 0.003 میلی‌گرم بر میلی‌لیتر به دست آمد.

هم‌چنین حضور کیتوزان در ترکیب سبب بالاتر رفتن اثر ضدمیکروبی کامپوزیت نیز می‌باشد. مکانیزم‌های مختلف از تعامل با باکتری برای کیتوزان ارائه شده است. یک مکانیسم احتمالی می‌تواند تعامل بین مولکول کیتوزان دارای بار مثبت در نانوکامپوزیت و بار منفی غشاء سلول باکتری باشد (۳۱).

منابع مورد استفاده

1. Denisa, F., Mihai, S., Anton, F., Ecaterina, A., Mehmet, Y., Omer, B.A., 2017. Drug Delivery Systems for Dental Applications. Current Organic Chemistry. 21(1):64-73.
2. Kolenbrander, P.E., Palmer, R.J., Periasamy, S., Jakubovics, N.S., 2011. Oral multispecies biofilm development and the key role of cell-cell distance. Nature reviews Microbiology. 8(7):471-480.
3. Irague, R., Tarquis, L., André, I., Moulis, C., Morel, S., Monsan, P., 2013. Combinatorial engineering of dextranase specificity. PLoS One. 8(10):e77837
4. Biswas, S., Biswas, I., 2005. Role of HtrA in surface protein expression and biofilm formation by *Streptococcus mutans*. Infection and immunity. 73(10):6923-34.
5. Bowen, W.H., Koo, H., 2011. Biology of *Streptococcus mutans*-Derived Glucosyl transferases: Role in Extracellular Matrix Formation of Cariogenic Biofilms. Caries Research. 45(1):69-86.
6. Koo, H., Rosalen, P.L., Cury, J.A., Park, Y.K., Bowen, W.H., 2002. Effects of compounds found in propolis on *Streptococcus mutans* growth and on glucosyltransferase activity. Antimicrobial agents and chemotherapy. 46(5):1302-1309.
7. Raut, J.S., Karuppaiyil, S.M., 2014. A status review on the medicinal properties of essential oils. Industrial Crops and Products. 62:250-264.
8. Othman, A.H., Mehdawi, N., Abu Taha A., Hamed, E.M., Al-Nuri, M.A., Hussein, A.S., 2013. Synthesis and antibacterial activity of novel curcumin derivatives containing heterocyclic moiety. Iranian journal pharmaceutical research : IJPR. 12(1):47-56.
9. Chavez de Paz, L.E., Resin, A., Howard, K.A., Sutherland, D.S., Wejse, P.L., 2011. Anti microbial effect of chitosan nanoparticles on *streptococcus mutans* biofilms. Applied and environmental microbiology. 77(11):3892-3895.
10. Narang, R.S., Narang, J.K., 2015. Nano medicines for dental applications-scope and future perspective. International journal pharmaceutical investigation. 5(3):121-123.
11. Wilpiszewska, K., Antosik, A.K., Spychar, T., 2015. Novel hydrophilic carboxymethyl starch/montmorillonite nanocomposite films. Carbohydrate polymers. 128:82-89.
12. Nabais, T., Brouillet, F., Kyriacos, S., Mroueh, M., Amores da Silva, P., Bataille, B., 2007. High-amylose carboxymethyl starch matrices for oral sustained drug-release: in vitro and in vivo evaluation. European journal of pharmaceutics and biopharmaceutics: official journal of Arbeitsgemeinschaft für Pharmazeutische Verfahrenstechnik. eV 65(3): 371-378.
13. Audira, G., Lai, Y.H., Huang, J.Ch., Chen, K.H., Hsiao, Ch.D., 2021. Environ Pollu. 278: 116907.
14. Ye, Y., Liu, J., Xu, J., Sun, L., Chen, M., Lan, M., 2010. Nano-SiO₂ induces apoptosis via activation of p53 and Bax mediated by oxidative stress in human hepatic cell line. Toxicol in Vitro. 24(3):751-758.
15. Won Kim, H., Ahn, E.K., Jee, B.K., Yoon, H.K., Lee, K.H., Lim, Y., 2008. Nanoparticulate-induced toxicity and related mechanism in vitro and in vivo. J Nanopart Res. 11(1):55-65.
16. Saboktakin, M.R., Tabatabaie, R.M., Maharramov, A., Ramazanov, M.A., 2011. Synthesis and in vitro evaluation of carboxymethyl starch-chitosan nanoparticles as drug delivery system to the colon. International j biological macromolecules. 48(3): 381-385.
17. Saikia, C., Hussain, A., Ramteke, A. Sharma, H.K., Maji, T.K., 2015. Carboxymethyl starch chitosan-coated iron oxide magnetic nanoparticles for controlled delivery of isoniazid. J microencapsulation. 32(1):29-39.
18. Pendolino, F., Armata, N., 2017. Graphene Oxide in Environmental Remediation Process.
19. Wang, Y., Zhou, W., Zhang, L., Song, G., Cheng, S., 2015. SiO₂@NiO core-shell nanocomposites as high performance anode materials for lithium-ion batteries. RSC Adv. 5: 63012-63016
20. Noorani, B., Tabandeh, F., Yazdian, F., Soheili, Z.S., Shakibaie, M., Rahmani, S.h., 2018. Thin natural gelatin/chitosan nanofibrous scaffolds for retinal pigment epithelium cells. Int J Polymeric Mater. 67: 754-763.
21. Johanna, J., Leena, N., Lea-Ann, K., Calum, J., Andrew, S., Tim, J., 2007. Identification of a Secreted Cholesterol-Dependent Cytolysin (Mitilysin) from *Streptococcus mitis*. J Bacteriolo. 2: 627-632.
22. Telma, B., Louis, G., Denise, P., Daniel, G., 2014. Subinhibitory Concentrations of Triclosan Promote *Streptococcus mutans* Biofilm Formation and Adherence to Oral Epithelial Cells. PLoS ONE. 9:1-6.
23. Stepanovic, S., Vukovic, D., Dakic, I., Savic, B., Svabic-Vlahovic, M., 2000. A modified microtiter-plate test for quantification of staphylococcal biofilm formation. Journal Microbiology Methods. 40:175-179.
24. Park, B.S., Kim, J.G., Kim, M.R., Lee, S.E., Takeoka, G.R., Oh, K.B., 2005. Curcuma longa L. constituents inhibit sortase A and *Staphylococcus aureus* cell adhesion to

- fibronectin. J Agricultural and Food Chemistry. 53:9005-9009.
- 25. Abdollahi, S., Pourahmad, A., 2018. Synthesis and Characterization of Graphene - ZnO NPs Nanocomposite and Its Application for Antibacterial Activities. J Fasa University of Medical Sciences. 8(2):805-814.
 - 26. Telma, B., Louis, G., Denise, P., Daniel, G., 2014. Subinhibitory Concentrations of Triclosan Promote *Streptococcus mutans* Biofilm Formation and Adherence to Oral Epithelial Cells. PLoS ONE 9: 1–6.
 - 27. Stepanovic, S., Vukovic, D., Dakic, I., Savic, B., Svabic-Vlahovic, M., 2000. A modified microtiter-plate test for quantification of staphylococcal biofilm formation. Journal Microbiology Methods 40: 175–179.
 - 28. Yue, J., Yang, H., Liu, S., Song, F., Guo, J., Huang, C., 2018. J Dentistry. 76:24-31. doi.org/10.1016/j.jdent.2018.04.013.
 - 29. Yoshida, A., Kuramitsu, H., 2002. *Streptococcus mutans* biofilm formation: utilization of a gtfB promoter-green fluorescent protein (PgtfB: gfp) construct to monitor development. Microbiology. 148(Pt 1):3385-3394.
 - 30. Stojiljkovic, J., Trajchev, M., Nakov, D., Petrovska, M., 2018. Antibacterial activities of rosemary essential oils and their components against pathogenic bacteria, Adv Cytol Pathol. 3(4):93-96.
 - 31. Beighton, D., 2005. The complex oral microflora of high-risk individuals and groups and its role in the caries process. Community dentistry and oral epidemiology. 33(4):248-255.
 - 32. Koo, H., Seils, J., Abrantes, J., Burne, R.A., Bowen, W.H., Quivey, R.G., 2006. Influence of apigenin on gtf gene expression in *Streptococcus mutans* UA159. Antimicrobial agents and chemotherapy. 50(2):542-546.
 - 33. Passos, M.R., Almeida, R., Oliveira Lima, B., Rodrigues, J.Z., deMacêdo Neres, N., 2021. J Ethnopharmacol. 274:114059.